

## ارائه روابط تحلیلی مدیریت فشار در شبکه‌های توزیع آب

محمد رضا جلیلی قاضی‌زاده<sup>۱\*</sup> ضیا الدین ایدی

۱. استادیار دانشکده عمران، آب و محیط‌زیست، دانشگاه شهید بهشتی

۲. دانشجوی دکتری سازه‌های هیدرولیکی، دانشگاه رازی

تاریخ پذیرش مقاله: ۱۳۹۵/۸/۸

تاریخ وصول مقاله: ۱۳۹۴/۶/۱۴

### چکیده

مدیریت فشار، یکی از روش‌های مدیریت تقاضای آب است. برای ارزیابی تأثیر تغییر فشار بر میزان نشت شبکه، معمولاً از رابطه فاوارد (FAVAD) استفاده می‌شود که در این رابطه، مقدار توان ترم فشار ( $N$ ) باید تعیین گردد. برای محاسبه  $N$  یا باید اطلاعاتی از منافذ نشت لوله‌ها داشت یا همراه با تغییرات فشار، مقدار نشت شبکه تعیین شود که اندازه‌گیری آن مشکل است. همچنین، مطالعات انجام‌شده برای تعیین اثر تغییرات فشار بر مصارف و نشت آب نیز کافی به نظر نمی‌رسد. در مطالعه حاضر، روش تحلیلی جدیدی برای برآورد  $N$  بدون نیاز به اندازه‌گیری مستقیم مقدار نشت ارائه شده است. در به کارگیری روش پیشنهادی، همچنین در بررسی آثار فشار بر مصرف و تلفات آب، شبکه‌یکی از مناطق شهر تهران پایلوت مطالعاتی انتخاب و ایزوله شد. در این پایلوت با اعمال الگوهای متفاوت فشار برای خروجی شیر فشارشکن نصب شده در بالادست پایلوت، تغییرات حداقل جریان شبانه، جریان ورودی به شبکه و مصرف مشترکان اندازه‌گیری شد. اجرای مدیریت فشار در این پروژه توانست میزان آن را به ترتیب تا ۵۰٪/۲۱٪ و ۳۰٪ کاهش دهد. در ادامه با استفاده از داده‌های اندازه‌گیری، روابطی برای تخمین آثار کاهش فشار بر میزان کاهش جریان شبانه، دبی ورودی به شبکه، همچنین مصرف مشترکان ارائه شد.

### کلیدواژه

توان  $N$ ، توزیع آب، شبکه‌های رابطه فشار- نشت، مدیریت فشار، نشت.

### ۱. سرآغاز

آب شرب که در اختیار مصرف‌کنندگان قرار می‌گیرد معمولاً حاصل اقدام‌های پرهزینه تأمین، توزیع، بهسازی و پالایش آب است. اتلاف زیاد آب با چنین ویژگی‌هایی چه در شبکه توزیع و چه در حوزه استفاده مشترکان زیانی بر اقتصاد ملی است و موجب افزایش محدودیت در امر تأمین آب می‌شود. نشت از شبکه‌های توزیع تا ۷۰٪ مجموع کلتلفات آب می‌رسد و برآورد می‌شود مقدار سالانه نشت در دنیا حدود ۳۲ میلیارد مترمکعب باشد (Guo, et al., 2013). مشکلات ناشی از کمبود منابع آب و لزوم به کارگیری تمهیدات لازم در کاهش نشت در کشورهای در حال توسعه

متشكل از متخصصانی از بخش آب انگلستان و ولز ارائه کردند. تکنیک‌های BABE به خوبی مستندسازی شده و به صورت گستره‌ای بهترین روش در برآورد و مدیریت نشت در سیستم‌های توزیع آب شرب در اکثر نقاط دنیا نشست (McKenzie and Seago, 2005). بعد از پذیرفته شده است (McKenzie and Seago, 2005) عبارت از استانداردسازی روش بالانس آب (IWA, 2001)، استفاده از شاخص‌های عملکرد نشت در اندازه‌گیری نشت‌های واقعی (Lambert and Mckenzie, 2002)، نظریه منافذ ثابت و متغیر (May, 1994) و مفهوم نشت‌های واقعی سالانه و اجتناب‌پذیر (Lambert et al., 2006) نشان دادند که کاهش فشار نه فقط باعث کاهش میزان نشت از منافذ موجود، بلکه باعث کاهش مقدار نشت‌های جدید و کاهش رخداد آن نیز می‌شود.

رابطه (۱) رابطه بین تغییرات فشار و نشت آب را بر اساس رابطه FAVAD نشان می‌دهد (May 1994).

$$\frac{L_1}{L_0} = \left( \frac{P_1}{P_0} \right)^N \quad (1)$$

که در این رابطه  $L_1$  و  $L_0$  مقادیر نشت از شبکه است هنگامی که مقادیر فشارهای مشخص به ترتیب  $P_1$  و  $P_0$  باشد. عدد  $N$  توان ثابت رابطه است که ارتباط بین نشت و فشار را نشان می‌دهد. حداقل و حداکثر مقدار  $N$  به ترتیب  $0/5$  و  $2/5$  گزارش شده است (Lambert, 1997). مقدار مشخصه‌ای اصلی است که از روابط نظری، داده‌های آزمایشگاهی یا اندازه‌گیری‌های میدانی تعیین شود و به عوامل مختلفی از جمله ثابت یا متغیر بودن سطح مقطع منفذ نشت وابسته است. شرایط منفذ نشت نیز خود تابع جنس لوله است. برای تعیین مقدار  $N$  مطالعاتی انجام و اعداد متفاوتی گزارش شده است. بررسی‌های جداگانه از داده‌های تحقیقاتی در ژاپن و انگلستان نشان می‌دهد که در

سطحی وجود نداشته باشد. در چنین شرایطی برای حل معضل کمبود آب باید به روش‌های مدیریت تقاضای آب روی آورد (جلیلی قاضی‌زاده، ۱۳۸۸).

بعد از کارگذاشتن لوله‌های شبکه، در میان تمام روش‌های کنترل نشت، تنها مدیریت فشار است که بدون حفاری و بازکردن ترانشه قابلیت کاهش و کنترل نشت را دارد، لذا از این لحاظ، مدیریت فشار، راه حلی عملی، مؤثر و کم‌هزینه در کنترل میزان نشت است. ابزار زیادی برای اعمال مدیریت فشار وجود دارد، از جمله کنترل پمپ‌ها، کنترل‌های ارتفاعی و نصب شیرهای کاهش‌دهنده یا نگهدارنده فشار. از جمله منافع مدیریت فشار می‌توان به کاهش هزینه تعمیرات، تعمیرات اضطراری کمتر، برنامه‌ریزی بهتر و نارضایتی کمتر مشترکان اشاره کرد (Thornton and Lambert, 2006).

شبکه باعث فرسودگی بیشتر تجهیزات و بالطبع افزایش هزینه تعمیرات، مصرف بیشتر آب توسط مشترکان و افزایش حوادث و اتفاقات می‌شود. فشار اضافی حتی نارضایتی مصرف کنندگان را نیز به همراه دارد. از طرف دیگر، فشار پایین‌تر از حد استاندارد در شبکه باعث معضلاتی از قبیل نارضایتی مشترکان، جریان‌های برگشتی، کاهش توانایی سامانه در اطفای حریق و به وجود آمدن خطأ در سیستم‌های اندازه‌گیری می‌شود. همچنین، احتمال شناسایی نشت‌های کنونی با تقلیل فشار کاهش می‌یابد، زیرا با کاهش دبی نشت، صدای نشت نیز کم و ردیابی آن مشکل‌تر می‌شود. بنابراین، لازم است ضمن درنظر داشتن حداقل فشار مورد نیاز سامانه، با استفاده از تجهیزات و روش‌های متداول، نسبت به تنظیم بهینه فشار شبکه توزیع اقدام کرد. یکی از راه‌های اساسی و کاربردی در کاهش نشت، تنظیم و کاهش فشار اضافی شبکه است. کاهش فشار سامانه توزیع نرخ هر نوع نشتی را کاهش می‌دهد.

از جمله اولین پیشرفت‌ها در زمینه نشت در سیستم‌های توزیع، در دهه ۱۹۹۰ است که روش‌های برآورد ترکیبی‌ها و نشت زمینه (BABE)<sup>۱</sup> را تیم کاری

تحقیقات صورت‌گرفته در کشورهای مختلف در تعیین این مشخصه آمده است (Schwaller and van Zyl, 2014). بر اساس نتایج این جدول، محدوده  $N$  از ۰/۳۶ تا ۰/۹۵ متغیر و در بیشتر مواقع در محدوده ۰/۵ تا ۱/۵ قرار می‌گیرد.

سامانه‌های بزرگ توزیع آب با جنس لوله‌های متفاوت، مقدار  $N$  بین ۱ تا ۱/۱۵ است. با این حال، مقدار  $N$  از شبکه‌ای ایزوله به شبکه مجاور بسیار متفاوت است (Fanner et al., 2007). در جدول ۱ تعدادی از نتایج

جدول ۱. مقادیر گزارش شده  $N$  (Schwaller and van Zyl, 2014)

کشور، سال	تعداد Mord بررسی	محدوده	$N$	متوجه
انگلستان، ۱۹۷۷	۱۷	۱/۶۸-۰/۶۳	۱/۱۳	
ژاپن، ۱۹۷۹	۸	۲/۱۲-۰/۶۳	۱/۱۵	
برزیل، ۱۹۹۸	۱۳	۲/۷۹-۰/۵۲	۱/۱۵	
انگلستان، ۲۰۰۳	۷۵	۲/۹۵-۰/۳۶	۱/۰۱	
قبرس، ۲۰۰۵	۷۵	۲/۸۳-۰/۶۴	۱/۴۷	
مالزی	۱۷	۱/۵۰-۰/۴۹	۰/۹۲	

مقدار ۰/۲۰ درصد کاهش داد (Dimitrov et al., 2011) کاربرد مدیریت فشار در پایلوتی از شهر کبک کانادا توانست سالانه ۱۲۰,۰۰۰ مترمکعب از تلفات نشت شبکه توزیع را کم کند (Laneuville, 2015).

در مقاله حاضر، ابتدا روشی تحلیلی برای محاسبه مقدار  $N$  ارائه و نتایج آن با استفاده از بررسی میدانی انجام شده بحث شده است. در ادامه، تأثیر انجام عملیات مدیریت فشار در پایلوت مورد مطالعه ارائه و روابطی برای تخمین آثار کاهش فشار بر میزان کاهش جریان شبانه، دبی ورودی به شبکه و مصرف مشترکان مطرح شده است.

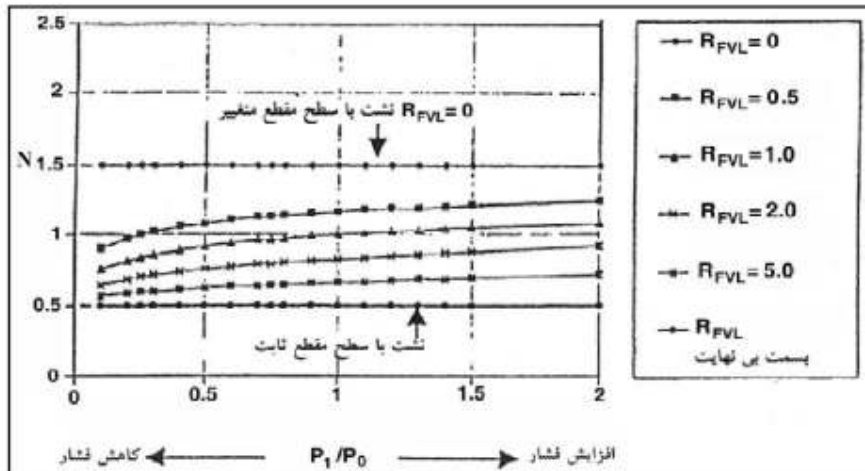
## ۲. محاسبه توان $N$

برای محاسبه مقدار  $N$  روش‌های مختلفی پیشنهاد شده است. در ادامه، دو روش از روش‌های موجود، همچنین روش پیشنهادشده در این مقاله در برآورد مقدار  $N$  ارائه می‌شود.

### ۱.۰. روش منافذ نشت با سطح مقطع ثابت و متغیر

در این روش با استفاده از شکل ۱ مقدار  $N$  تعیین می‌شود (Lambert, 1997).

شاھنگیان و تابش (۱۳۹۳) تحقیقات صورت‌گرفته درباره رابطه نشت- فشار را به سه دسته کلی تقسیم کردند: الف) تحقیقات میدانی، ب) آزمایشگاهی (شکست‌های واقعی یا نشت مصنوعی) و ج) عددی و تحلیلی. نتایج این مطالعه نشان می‌دهد که نتایج حاصل از این روش‌ها در شبکه‌های مختلف دارای پراکندگی زیادی است و مبنای اکثر آن‌ها فرمول اریفیس و نظریه FAVAD بوده است. طیف وسیعی از توان‌های  $N$  در شرایط مختلف و برای لوله‌های یکسان ارائه شده است. در زمینه نظری مدیریت فشار تحقیقات دیگری در موضوعات مختلف انجام شده است، از جمله تابش و هومهر (۱۳۸۶)، کارآموز و همکاران (۱۳۸۵)، جلیلی قاضیزاده و صالحی (۱۳۸۶)، Walski و همکاران (۲۰۰۶) و همکاران (۲۰۰۶)، Marunga و همکاران (۲۰۰۳)، Pereza و همکاران (۲۰۱۱) در زمینه Lambert (۲۰۰۳) تجربیات عملی و میدانی، به کارگیری مدیریت فشار و کاهش مقادیر مصارف یا نشت نیز گزارش‌های مختلفی ثبت شده است. در پروژه‌ای در ملبورن استرالیا، مدیریت فشار باعث صرفه‌جویی ۲۰٪ تا ۵۵٪ آب شرب مصرفی مجموعه شد (Burn et al., 2002). عملیات مدیریت فشار در پروژه‌ای در شهر بورگاس بلغارستان میزان نشت را به



شکل ۱. رابطه بین نسبت فشار و مقدار N در نظریه FAVAD (نشریه ۵۵۶، ۱۳۹۱)

اندیس  $n$  نشان‌دهنده زمان‌های مختلف است. با تغییر فشار شبکه در مراحل مختلف، مقادیر  $N$  در هر مرحله محاسبه و معمولاً متوسط آن، مقدار نهایی  $N$  در شبکه مورد مطالعه در نظر گرفته می‌شود. در این محاسبات  $P_n$  مقدار متوسط فشار شبکه در هر مرحله است. اما، از آنجا که مقدار  $L_n$  (نشت شبکه در هر مرحله) قابل اندازه‌گیری و مقدار دقیق آن معلوم نیست، معمولاً از مقدار حداقل جریان شبانه اندازه‌گیری شده به جای آن استفاده و گاهی نیز، با کسر مصرف تخمینی و شبانه مشترکان (برای مثال Fanner et al., 2007) از کل جریان شبانه، سعی در برآورد دبی نشت می‌شود. از محدودیت‌های این روش، عدم اطلاع از مقدار مصرف مشترکان است که نتایج را با خطا مواجه می‌کند.

### ۳.۲ روش پیشنهادی

رابطه فشار- نشت (رابطه ۳) را به صورت زیر در نظر بگیرید.

$$\left(\frac{L_n}{L_0}\right) = \left(\frac{P_0}{P_n}\right)^N \quad (3)$$

در این روابط  $P_0$  و  $L_0$  مقادیر فشار و دبی نشت از شبکه توزیع در مرحله اول و  $L_n$  و  $P_n$  مقادیر فشارهای متوسط و نشت‌های متاظر آن، در مراحل بعدی (که فشار

در شکل ۱ شاخص کلیدی  $R_{FVL}$  از رابطه (۲) محاسبه می‌شود.

$$R_{FVL} = \frac{\text{تمدّد نشت با سطح مقطع ثابت}}{\text{تمدّد نشت با سطح مقطع منبیز}} \quad (2)$$

تعداد منافذ نشت با سطح مقطع ثابت (مانند سوراخ‌ها) و متغیر (مانند ترک و گردبرها) با استفاده از اطلاعات میدانی ثبت و پردازش شده مربوط به حوادث در شبکه‌های توزیع آب در طول مدت زمانی کافی به دست می‌آید. زمان کافی برای ثبت داده‌ها حداقل شش ماه است (نشریه ۵۵۶، ۱۳۹۱). از محدودیت‌های این روش نیاز به ثبت اطلاعات طولانی مدت حوادث است. همچنین، در این روش، حداقل مقدار  $N$  برابر  $1/5$  پیشنهاد شده است، در صورتی که در بسیاری از مراجع مقادیر بزرگ‌تر از  $1/5$  نیز گزارش شده است (Schwaller and van Zyl, 2014; Lambert, 1997).

### ۴.۲ روش گام‌به‌گام

در این روش برای محاسبه مقدار  $N$ ، رابطه (۱) به صورت زیر نوشته می‌شود (Fanner et al., 2007).

$$N = \frac{\log\left(\frac{L_n}{L_0}\right)}{\log\left(\frac{P_0}{P_n}\right)} \quad (3)$$

از آنجا که مقدار واقعی عدد  $X$  تقریباً ثابت است، اگر مقدار  $N$  صحیح حدس زده شده باشد، مقادیر  $X$  محاسبه شده از رابطه (۱۰) در شرایط فشارهای مختلف شبکه باید ثابت یا به یکدیگر نزدیک باشد و اگر مقدار  $N$  صحیح حدس زده نشود، مقادیر  $X$ های محاسبه شده با یکدیگر تفاوت بیشتری خواهد داشت. در آخرین مرحله، مقادیر انحراف معیار  $X$ های محاسبه شده تعیین و مقدار  $N$  حدس زده است. مقدار انحراف معیار متناظر آن، حداقل است و مقدار نهایی توان رابطه نشت- فشار در شبکه مورد مطالعه معرفی خواهد شد. نمونه محاسبات روش پیشنهادی برای یک پایلوت مطالعاتی انجام شده است که نتایج آن در بخش‌های بعدی تشریح خواهد شد. قبل از ارائه نمونه محاسبات، در ادامه مشخصات پایلوت مورد مطالعه و نتایج اندازه‌گیری جریان شبکه ارائه خواهد شد.

### ۳. مشخصات پایلوت مورد مطالعه

محدوده آب و فاضلاب ناحیه ۲ از منطقه ۱ (شمیرانات تهران) شامل خیابان‌های شهید خداوری و زینعلی و تغذیه شده با مخزن ۲۹ تهران برای مطالعه پایلوتی انتخاب شد. منطقه مورد مطالعه مسکونی است که عکس ماهواره‌ای آن در شکل ۲ نشان داده شده است. بعد از مجزاسازی شبکه آب ناحیه مورد نظر از لوله‌های اطراف، در محل ورود جریان به ایزوله، علاوه بر شیر فشارشکن، کنترل گری برای اعمال تغییر فشار، روی شیر فشارشکن نصب شد (شکل ۲). از لagger و دبی سنج التراسونیکی به ترتیب برای ثبت فشار و اندازه‌گیری جریان استفاده شد. دبی سنج مقادیر دبی ورودی به ایزوله را در فواصل زمانی ۱۰ دقیقه ثبت کرد. برخی خصوصیات پایلوت مورد مطالعه در جدول ۲ نشان داده شده است.

شبکه تغییر می‌کند) است. مقدار حداقل جریان شبکه ( $M$ ) برابر مقدار نشت به علاوه مصرف شبکه است؛ یعنی،

$$M = L + C \quad (5)$$

که مقدار مصرف شبکه است.

با توجه به مقادیر کم مصارف شبکه طی زمان اندازه‌گیری حداقل جریان شبکه و مقادیر ناچیز تغییرات آن با فشار، در روش پیشنهادی فرض می‌شود که مقدار مصرف مشترکان، در زمان وقوع جریان شبکه، ثابت و مستقل از فشار شبکه است. لذا،

$$M_0 = L_0 + C \quad , \quad M_n = L_n + C \quad (6)$$

و با جایگذاری روابط (۶) در رابطه (۴) خواهیم داشت:

$$\left( \frac{M_0 - C}{M_n - C} \right) = \left( \frac{P_n}{P_0} \right)^N \quad (7)$$

مقدار ثابت مصرف شبکه برابر کسری از حداقل جریان شبکه و اولیه  $M_0$  است. لذا،

$$C = X M_0 \quad (8)$$

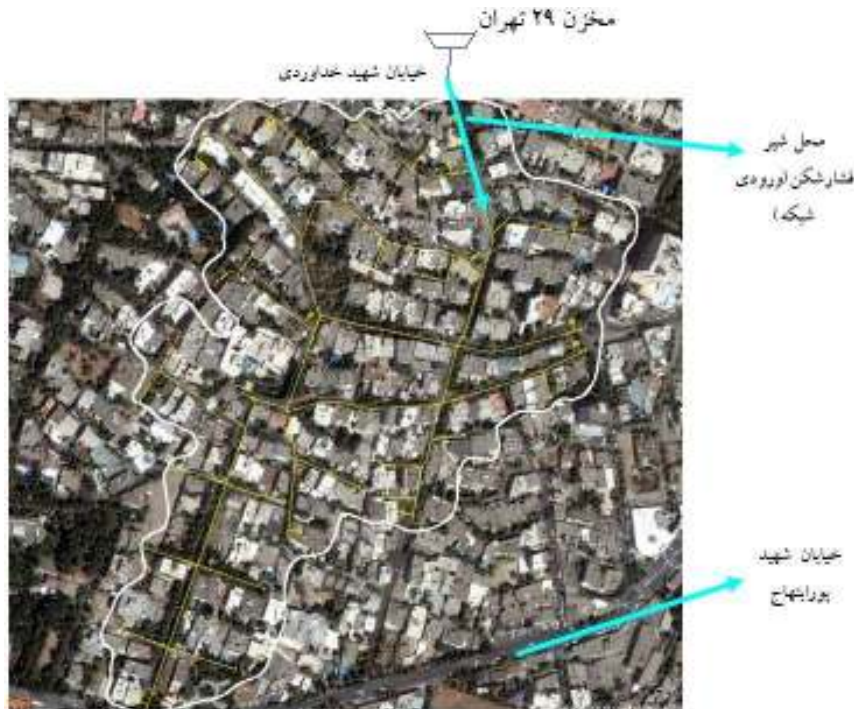
که در آن  $X$  ضریب ثابتی است که مقدار آن بین صفر تا ۱ است. با جایگذاری رابطه (۸) در (۷) داریم:

$$\left( \frac{M_0(1-X)}{M_n - X M_0} \right) = \left( \frac{P_n}{P_0} \right)^N \quad (9)$$

با استخراج  $X$  از رابطه (۹) خواهیم داشت:

$$X = \frac{\frac{M_n - \left( \frac{P_n}{P_0} \right)^N}{M_0}}{1 - \left( \frac{P_n}{P_0} \right)^N} \quad (10)$$

نحوه تعیین توان  $N$  در روش پیشنهادی بدین ترتیب است که ابتدا برای شرایط متفاوت فشارهای تنظیمی شبکه، مقادیر فشار متوسط و حداقل جریان شبکه اندازه‌گیری می‌شود. سپس، مقداری برای توان  $N$  حدس زده و برای هر فشار تنظیمی مقدار  $X$  از رابطه (۱۰) محاسبه می‌شود.



شکل ۲. مشخصات منطقه مورد مطالعه. خطوط نازک معرف شبکه توزیع، خطوط ضخیم معرف محدوده ناحیه

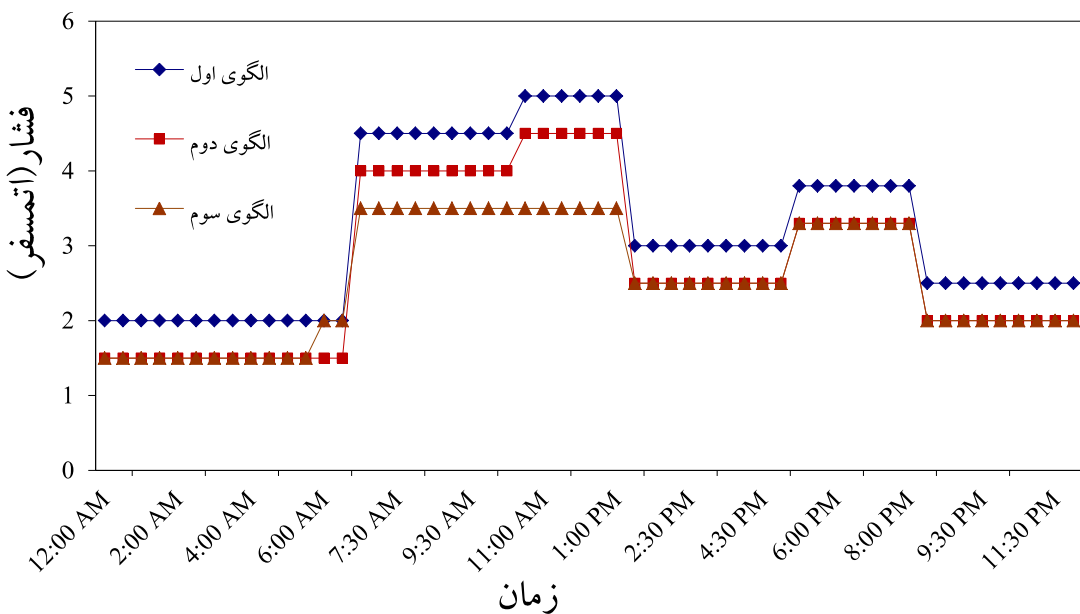
جدول ۲. مشخصات پایلوت مورد مطالعه

جنس لوله‌ها	اختلاف ارتفاع ناحیه (متر)	طول خطوط آبرسانی (متر)	تعداد انشعباب	۲۸۰
پلی‌اتیلن و چدن	۸۰			
		۳۶۰۰		

فشار، متناسب با الگوی مصرف تنظیم شد، به صورتی که ضمن کاهش فشار در ساعت‌های مصرف غیرپیک، همه مشترکان در تمامی ساعت شبانه‌روز، فشار کافی و استاندارد داشته باشد. سه الگوی زمانی تنظیم فشار مذکور، در شکل ۳ نشان داده شده است.

مراحل و شرایط مختلف هشت هفته اندازه‌گیری در جدول ۳ آمده است. برای مقایسه بهتر الگوهای ذکر شده (شکل ۳)، مقدار میانگین فشار اعمالی در طول ۲۴ ساعت برای هر الگو نیز در جدول ذکر شده است.

بعد از تکمیل و آماده‌سازی ایزوله و نصب تجهیزات، اندازه‌گیری دبی ورودی و قرائت مصرف مشترکان در فشارهای مختلف انجام گرفت. در هر مرحله خروجی شیر فشارشکن روی فشار مورد نظر تنظیم و دبی ورودی به شبکه در فواصل زمانی ۱۰ دقیقه ثبت شد. برای هر مرحله، عملیات اندازه‌گیری حداقل به مدت یک هفته ادامه داشت. لازم به ذکر است که فشار خروجی شیر فشارشکن در دو حالت خروجی ثابت و متغیر (به صورت الگوی زمانی) تنظیم می‌شد. علاوه بر فشارهای ثابت، سه الگوی متغیر فشار در طول سه هفته بررسی شد. الگوهای تنظیم زمانی



شکل ۳. الگوهای تنظیم فشار خروجی شیر فشارشکن

جدول ۳. شرایط مختلف فشار خروجی شیر فشارشکن

ملاحظات	فشار خروجی شیر فشارشکن	شماره هفته	هدف
ماه رمضان	۳۰ متر ثابت	۱	
ماه رمضان	۵۰ متر ثابت	۲	
-	۵۰ متر ثابت	۳	اندازه‌گیری حداقل جریان شبانه، دبی ورودی و مصرف
-	الگوی اول (میانگین ۳۲ متر)	۴	
-	الگوی دوم (میانگین ۲۷ متر)	۵	
-	۴۰ متر ثابت	۶	
-	۳۳ متر ثابت	۷	اندازه‌گیری حداقل جریان شبانه
-	الگوی سوم (میانگین ۲۵ متر)	۸	

در هفته‌های مختلف اندازه‌گیری نشان داده شده است. در این جدول میزان فشار خروجی شیر فشارشکن در زمان جریان شبانه، همچنین مقدار حداقل دبی شبانه در طول هفته نیز نشان داده شده است.

**۴. نتایج و بحث**  
**۴.۱۴. تغییرات حداقل جریان شبانه**  
 حداقل جریان شبانه که از مجموع نشت‌های شبکه و مصارف شبانه مشترکان تشکیل شده است در ساعت‌های نیمه شب و معمولاً بین ساعت ۱۲ شب تا ۵ صبح اتفاق می‌افتد. در جدول ۴ نتایج اندازه‌گیری حداقل جریان شبانه

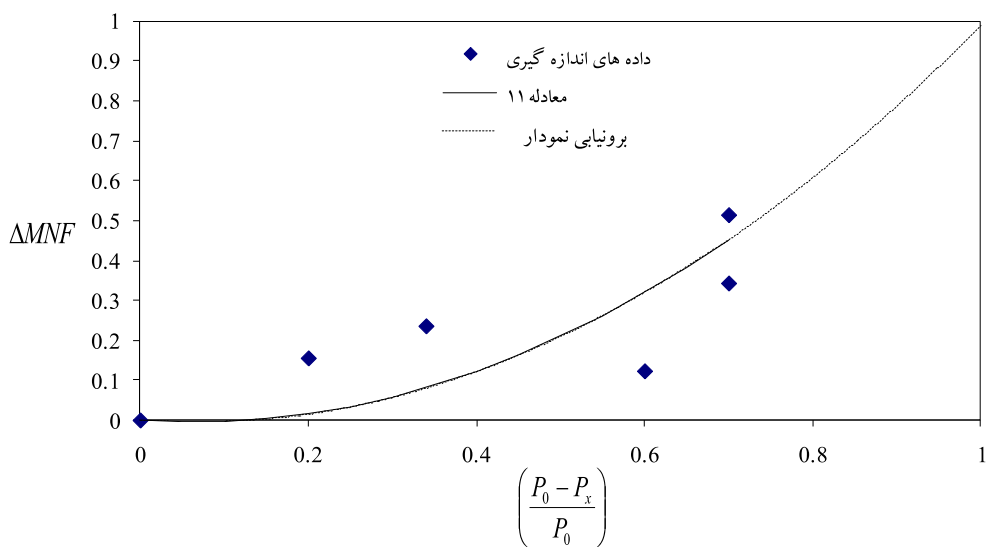
جدول ۴. تغییرات حداقل جریان شبانه با فشار برای ایزووله مورد مطالعه

شماره هفته	در زمان جریان شبانه (متر)	فسار خروجی شیر فشارشکن	حداقل جریان شبانه (مترمکعب بر ساعت)
۳	۵۰		۲۱/۹۶
۴	۲۰		۱۹/۲۶
۵	۱۵		۱۰/۶۹
۶	۴۰		۱۸/۵۵
۷	۳۳		۱۶/۷۹
۸	۱۵		۱۴/۴۴

تغییرات جریان شبانه در این ماه، از تحلیل حذف شده است.

در شکل ۴، نتایج داده‌های اندازه‌گیری شده توسط منحنی برآش نشان داده شده است. مطابق شکل می‌توان برای شبکه‌ای با فشار مبنای ۵۰ متر، رابطه (۱۱) را برای تعیین مقدار نسبی کاهش حداقل جریان شبانه با کاهش فشار شبانه شبکه پیشنهاد داد.

چنانچه نتایج جدول ۴ نشان می‌دهد، با کاهش فشار خروجی شیر فشارشکن میزان حداقل جریان شبانه کاهش می‌یابد. در شکل ۴، تغییرات درصد کاهش حداقل جریان شبانه در مقابل درصد کاهش فشارهای متوسط شبکه در هفته‌های مختلف اندازه‌گیری نشان داده شده است. مبنای مقایسه در این شکل، مقدار خروجی شیر فشارشکن در حالت هفته سوم (۵۰ متر) بوده است. اندازه‌گیری‌های هفته‌های اول و دوم که مربوط به ماه رمضان است به علت



شکل ۴. تغییرات نسبی حداقل جریان شبانه در برابر فشار خروجی شیر فشارشکن

## ۲.۴. محاسبه توان N در پایلوت مورد مطالعه (۱۱)

برای محاسبه توان  $N$  بر اساس روش پیشنهادی، ابتدا با استفاده از رابطه (۱۰) مقادیر ضریب  $X$  با توجه به داده‌های فشار و حداقل جریان شبانه در مراحل مختلف محاسبه شد (جدول ۵). در این جدول  $X_1$ ,  $X_2$  و  $X_3$  مقادیر محاسبه شده  $X$  از رابطه (۱۰) به ترتیب مربوط به فشارهای متوسط ۱۵، ۴۰ و ۳۳ متر و مقادیر حداقل جریان‌های شبانه  $L_0$ ,  $P_0$  و  $MNF$  متناظر با آن هاست. در این محاسبات مقادیر  $P_0$  و  $MNF$  مربوط به هفته ۳ است (جدول ۴). انحراف معیار مقادیر  $X$ ها در ردیف آخر جدول ۵ نمایش داده شده است. نمودار مربوط به مقادیر مختلف توان پیشنهادی  $N$  و انحراف معیارهای متناظر آن در شکل ۵ رسم شده است. مطابق این نمودار، حداقل انحراف معیار مربوط به حالت  $N = 1.15$  است. با توجه به جنس لوله‌های پایلوت مورد مطالعه، که ترکیبی از لوله‌های چدنی و پلی‌اتیلن است، نتیجه به دست آمده برای مقدار  $N (1/15)$  منطقی به نظر می‌رسد.

$$\Delta MNF = 1.2 \left( \frac{P_0 - P_x}{P_0} \right)^2 - 0.2 \left( \frac{P_0 - P_x}{P_0} \right)$$

که در آن  $\Delta MNF$  نسبت کاهش حداقل جریان شبانه،  $P_x$  مقدار فشار تقلیل یافته (بر حسب متر) است. از ویژگی‌های این رابطه پیشنهادی این است که در آن شرایط مرزی در نظر گرفته شده است، به صورتی که هنگامی که فشار  $P_x$  برابر  $P_0$  و صفر باشد مقدار  $\Delta MNF$  به ترتیب برابر صفر و ۱ خواهد شد. مقدار ضریب همبستگی داده‌ها با رابطه (۱۱) به دست می‌آید.  
 $(r^2=0.94)$

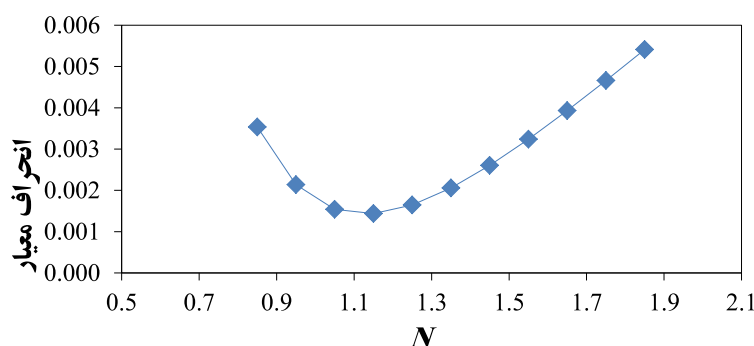
در نشریه ۵۵۶ (۱۳۹۱)<sup>۲</sup> به نقل از WRC<sup>۳</sup> بین جریان خالص شبانه ( $MNF$ )<sup>۴</sup> و فشار متوسط شبانه در منطقه (AZNP)<sup>۵</sup> رابطه (۱۳) به شکل زیر ذکر شده است.

$$MNF = 0.007(AZNP)^2 + 0.5(AZNP) \quad (12)$$

که شکل کلی آن به رابطه (۱۱) شباهت دارد و نشان می‌دهد بین مقدار فشار و جریان شبانه رابطه درجه دوم وجود دارد.

جدول ۵. ضرایب  $X$  و انحراف معیار آن در هفت‌های ۵، ۶ و ۷ به ازای مقادیر مختلف  $N$

$0/85$	$0/95$	$1/00$	$1/10$	$1/20$	$1/30$	$1/40$	$1/50$	$1/60$	$1/70$	$1/80$	$N$
۰/۱۹۸۹	۰/۲۴۶۸	۰/۲۸۴۸	۰/۳۱۵۳	۰/۳۴۰۳	۰/۳۶۱۰	۰/۳۷۸۳	۰/۳۹۲۹	۰/۴۰۵۲	۰/۴۱۵۷	۰/۴۲۴۸	$X_1$
۰/۱۰۱۲	۰/۱۸۷۱	۰/۲۵۶۶	۰/۳۱۳۹	۰/۳۶۲۰	۰/۴۰۳۰	۰/۴۲۸۳	۰/۴۶۸۹	۰/۴۹۵۹	۰/۵۱۹۷	۰/۵۴۰۹	$X_2$
۰/۲۰۸۸	۰/۲۷۸۱	۰/۳۳۴۱	۰/۳۸۰۳	۰/۴۷۸۹	۰/۴۵۱۶	۰/۴۷۹۸	۰/۵۰۴۲	۰/۵۲۵۵	۰/۵۴۴۴	۰/۵۶۱۱	$X_3$
۰/۰۰۳۵	۰/۰۰۲۱	۰/۰۰۱۵	۰/۰۰۱۴	۰/۰۰۱۶	۰/۰۰۲۱	۰/۰۰۲۶	۰/۰۰۳۲	۰/۰۰۳۹	۰/۰۰۴۷	۰/۰۰۵۴	انحراف معیار



شکل ۵. تغییرات مقادیر انحراف معیار و  $N$  در پایلوت مورد مطالعه

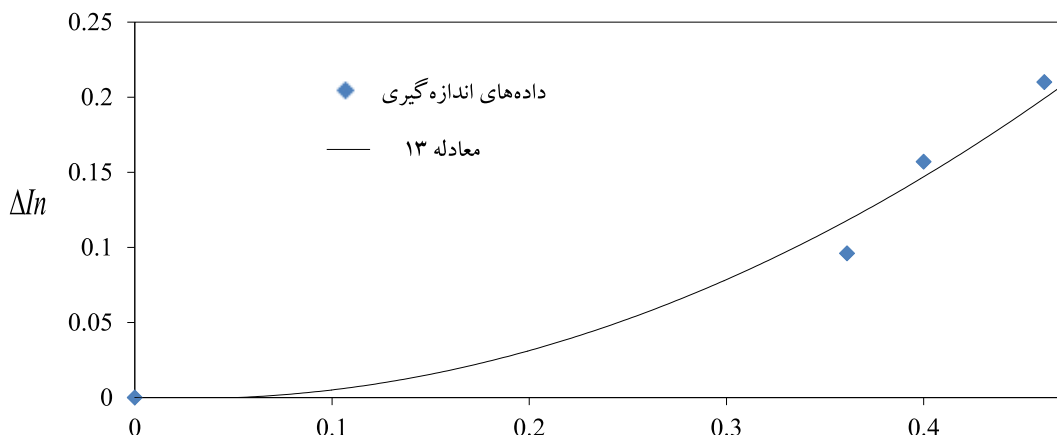
مدت انجام اندازه‌گیری‌ها ثبت شد. نتایج در صد تغییرات دبی ورودی به شبکه در اثر تغییرات فشار در جدول ۶ آمده است.

### ۳.۴. تأثیر تغییرات فشار بر میزان جریان ورودی به ایزوله

در بررسی تأثیر تغییرات مقدار فشار بر میزان جریان ورودی، مقادیر جریان ورودی به ایزوله با عدد دسی سنج التراسونیک که در بالادست شیر فشارشکن نصب بود در

جدول ۶. درصد کاهش دبی ورودی به شبکه در نتیجه کاهش فشار

کاهش دبی ورودی به شبکه (%)	متوسط دبی روزانه ورودی به شبکه در هفته مورد مطالعه (مترمکعب در روز)	فشار خروجی شیر فشارشکن (متر)	هفتة
۱۵/۷	۹۱۰/۴۲	۳۰ (ثبت)	۱
۰	۱۰۷۹/۳۱	۵۰ (ثبت)	۲
۰	۹۹۹/۹۷	۵۰ (ثبت)	۳
۹/۶	۹۰۴/۱	الگوی اول (میانگین ۳۲)	۴
۲۱	۷۹۰/۳	الگوی دوم (میانگین ۲۷)	۵



شکل ۶. تغییرات نسبی کاهش دبی ورودی به ایزوله و فشار خروجی شیر فشارشکن

۲ در ماه رمضان و هفته‌های ۴ و ۵ خارج از ماه رمضان بوده است. در شکل ۶ تغییرات نسبی کاهش دبی ورودی به شبکه بر حسب نسبت کاهش فشار خروجی شیر فشارشکن نشان داده شده است. همچنین، در این شکل روند تغییرات به صورت منحنی، با نتایج به دست آمده برآذش داده شده است.

در جدول ۶، میزان درصد کاهش دبی ورودی روزانه به شبکه، نسبت به میزان دبی ورودی به شبکه در حالت فشار خروجی شیر فشارشکن برابر ۵۰ متر محاسبه شده است. در این محاسبات، مقدار درصد کاهش دبی ورودی هفته دوم، نسبت به هفته اول و هفته‌های چهارم و پنجم نسبت به هفته سوم سنجیده شده است، زیرا هفته‌های ۱ و

علت کاهش فشار است. نمودار رابطه<sup>(۱۳)</sup> در شکل ۶ نمایش داده شده است. مقدار ضریب همبستگی داده‌ها با رابطه<sup>(۱۳)</sup> به دست می‌آید ( $0.99 = 0.99^2$ ).

#### ۴.۴. تأثیر کاهش فشار شبکه بر میزان مصرف مشترکان

در بررسی تأثیر مدیریت فشار بر میزان کاهش مصرف مشترکان، کنتور مشترکان داخل پایلوت همزمان با تغییرات فشار در خروجی شیر فشارشکن به صورت هفتگی قرائت شد. نتایج تغییرات مصرف مشترکان با تغییرات خروجی شیر فشارشکن در هفته‌های ۳ و ۴ و ۵ در جدول ۷ آمده است.

نتایج شکل ۶ نشان می‌دهد که با کاهش حداکثری فشار خروجی شیر فشارشکن، بدون تارضایی مشترکان، دبی ورودی به شبکه تا بیش از ۲۰٪ کاهش یافته است. کاهش دبی ورودی به شبکه به علت کاهش مصرف مشترکان به علاوه کاهش نشت شبکه است. بر اساس نتایج به دست آمده می‌توان برای شبکه‌ای با فشار مبنای ۵۰ متر، رابطه<sup>(۱۳)</sup> را در تعیین درصد کاهش دبی ورودی به شبکه با کاهش فشار پیشنهاد داد.

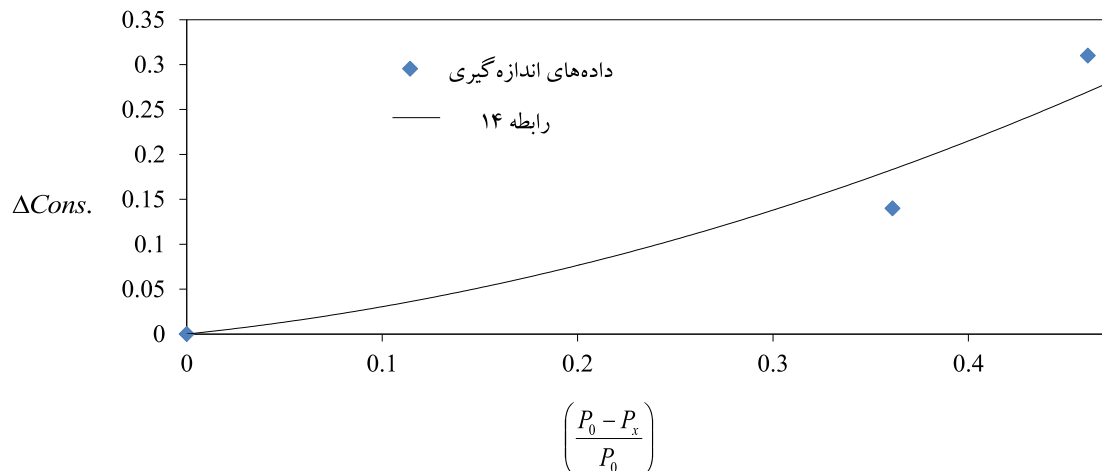
(۱۳)

$$\Delta In = 1.056 \left( \frac{P_0 - P_x}{P_0} \right)^2 - 0.056 \left( \frac{P_0 - P_x}{P_0} \right)$$

که در آن  $\Delta In$  نسبت کاهش دبی ورودی به شبکه به

جدول ۷. تغییرات مصرف مشترکان و فشار خروجی شیر فشارشکن

شماره هفته	فشار (متر)	میزان مصرف هفتگی مشترکان (مترمکعب)	کاهش مصرف (%)	میزان مصرف هفتگی
۳	۵۰ (ثابت)	۱۴۱۹	۰	
۴	الگوی اول (میانگین ۳۲)	۱۲۲۲	۱۴	
۵	الگوی دوم (میانگین ۲۷)	۹۸۵	۳۱	



شکل ۷. تغییرات نسبی کاهش مصرف مشترکان در مقابل فشار خروجی شیر فشارشکن

در تحقیق حاضر مدیریت فشار نیز در شبکه مورد مطالعه اجرا و نتایج تأثیر آن در طول چند هفته اندازه‌گیری شد. در این پایلوت، پیاده‌سازی مدیریت فشار توانست بدون نارضایتی مشترکان، میزان جریان شبانه، دبی ورودی به شبکه و مصرف مشترکان را به ترتیب تا ۰/۵۰٪ و ۰/۳٪ کاهش دهد.

همچنین، با استفاده از داده‌های به دست آمده در این تحقیق، سه رابطه جدید غیرخطی برای برآورد میزان کاهش، جریان شبانه، جریان ورودی به شبکه و مصرف مشترکان با کاهش فشار ارائه شد. از مزایای معادلات جدید، رعایت شرایط مرزی فشار، همچنین لحاظ کردن مقدار فشار اولیه ( $P_0$ ) است.

با توجه به متناسب بودن شرایط شبکه‌های توزیع آب از نظر جنس لوله‌ها و مقادیر فشار شبکه، مطالعات بیشتر در زمینه تأثیر مدیریت فشار بر مقادیر نشت و مصرف مشترکان لازم است.

### تشکر و قدردانی

نویسنده‌گان از مدیر عامل، معاون بهره‌برداری و کارشناسان محترم وقت شرکت آب و فاضلاب منطقه ۱ شهر تهران برای همکاری در انجام این تحقیق قدردانی می‌کنند.

### یادداشت‌ها

1. Bursts and Background Estimates
2. Water Research Centre
3. Minimum Night Flow
4. Average Zone Night Pressure

در شکل ۷، تغییرات نسبت کاهش مصرف هفتگی مشترکان در مقابل فشار خروجی شیر فشارشکن نمایش داده شده است. بر اساس این نتایج، با انجام مدیریت فشار، مصرف مشترکان کاهش یافته است، بدون اینکه نارضایتی از مشترکان گزارش شده باشد.

مطابق شکل ۷، می‌توان برای شبکه‌ای با فشار اولیه ۵۰ متر، رابطه (۱۴) را در تعیین میزان کاهش مصرف مشترکان با کاهش فشار پیشنهاد داد.

(۱۴)

$$\Delta Cons. = 0.8 \left( \frac{P_0 - P_x}{P_0} \right)^2 + 0.2 \left( \frac{P_0 - P_x}{P_0} \right)$$

که در آن  $\Delta Cons.$  نسبت کاهش مصرف مشترکان است.

### ۵. نتیجه‌گیری

در این مقاله روش جدید تحلیلی در محاسبه توان (N) در رابطه FAVAD ارائه شد. از جمله مزایای روش پیشنهادی، عدم نیاز به اندازه‌گیری تعداد منفذ نشت با سطح مقطع ثابت و متغیر، همچنین عدم نیاز به داشتن مقدار دقیق مصرف شبانه است. فرض مورد استفاده در این روش، مستقل بودن مصرف شبانه از فشار شبکه است. با استفاده از روش پیشنهادی، مقدار N در پایلوت مورد مطالعه عدد ۱/۱۵ به دست آمد که با توجه به جنس لوله‌های پایلوت (ترکیب لوله‌های پلی‌اتیلنی و چدنی) و نتایج دیگر مطالعات، عدد به دست آمده منطقی است.

### منابع

تابش، م. هومهر، س. ۱۳۸۶. مدیریت نشت در شبکه‌های آبرسانی به وسیله بهینه‌سازی تنظیم شیرهای فشارشکن با استفاده از الگوریتم زنیک، دومین کنفرانس مدیریت منابع آب ایران، دانشگاه صنعتی اصفهان.

جلیلی قاضی‌زاده، م.ر. ۱۳۸۸. مبانی و کاربرد مدیریت فشار در شبکه‌های توزیع آب نشریه علمی، فنی، اجتماعی و فرهنگی آب و محیط‌زیست، ۰۵: ۶۶-۷۵.

جلیلی قاضی‌زاده، م.ر. صالحی، س. ۱۳۸۶. مدیریت فشار در شبکه‌های شاخه‌ای با استفاده از لوله‌های موازی، ششمین کنفرانس هیدرولیک ایران.

کارآموز، م. تابش، م. نظیف، س. مریدی، ع. ۱۳۸۵. مدل مدیریت فشار در شبکه توزیع آب شهری، هفتمین کنگره بین المللی مهندسی عمران، دانشگاه تربیت مدرس تهران.

شاهنگیان، س.ا. تابش، م. ۱۳۹۳. مروری بر پیشینه تحقیقات صورت گرفته بر روی رابطه نشت فشار، سیزدهمین کنفرانس هیمارولیک ایران، تبریز، دانشگاه تبریز.

نشریه ۱۳۹۱. ۵۵۶. راهنمای شناخت و بررسی عوامل مؤثر در آب به حساب نیامده و راهکارهای کاهش آن، وزارت نیرو، دفتر مهندسی و معیارهای فنی آب و آبفا.

Burn, L.S. Silva, D. De. Shipton, R.J. 2002. Effect of demand management and system operation on potable water infrastructure coasts. *Sciencedirect, Urban Water*. 4(3).

Chowdhury, M.A.I. Ahmed, M.F. Bhuiyan, M.A. Rahman, M.H. 1997. Uncounted-for water management states in Bangladesh. *Journal of water supply-AQUA*. 46.

Dimitrov, G. Tenev, G. Krustev T. 2011. Regulation of the water pressure in the water supply network in the residential area of burgas. *Water Utility Journal*. 1: 49-55.

Fanner, P.V. Sturm R. Thornton, J. Liemberger, R. 2007. Leakage management technologies, EPA, by Awwa Research Foundation. 6666 West Quincy Avenue, Denver, CO 80235-3098 USA, P 303.347.6100.

Guo, S. Zhang, T. Shao, W. Zhu, D.Z. Duan Y. 2013. Two-dimensional pipe leakage through a line crack in water distribution systems. *Journal of Zhejiang University Science A (Applied Physics & Engineering)*, 14(5): 371-376.

IWA. 2001. Water losses management and techniques, International report, presented at the IWA Congress in Berlin.

Lambert, A. 1997. Pressure management / Leakage relationships: theory, concepts and practical applications, Minimizing Leakage in Water Supply / Distribution Systems, IQPC Seminar, London.

Lambert, A. 2003. What do we know about pressure-leakage relationships in distribution systems?, IWA Conference.

Lambert, A. Brown, T.G. Takizawa, M. Weirner, D. 1999. A review of performance indicators for real losses from water supply systems. *AQUA*. 48(6): 227-237.

Lambert, A. McKenzie, R. 2002. Practical experience in using the infrastructure leakage index, International Water Date Comparisons Ltd, UK and Global Water Resources Ltd, Republic of South Africa. .

Laneuville, M. 2015. Pressure management in water distribution networks for water and infrastructure sustainable use. *Journal of Vecteur Environment*: 44-50.

Marunga, A. Hoko, Z. Kaseke E. 2006. Pressure management as a leakage reduction and water demand management tool: the case study of the city of Mutare, Zimbabwe. *Physics and Chemistry of the Earth*. Elsevier, 31: 763-770.

May, J. 1994. *Pressure dependent leakage*, World Water and Environmental Engineering management.

McKenzie, R. Seago, C. 2005. Assessment of real losses in potable water distribution systems: some recent developments. *Water Science and Technology: Water Supply*. 5(1): 33-40, IWA Publishing.

Pereza, R. Puiga, V. Pascuala, J. Quevedoa, J. Landerosc, E. Peraltad, A. 2011. Methodology for leakage isolation using pressure sensitivity analysis in water distribution networks. *Journal of Control Engineering Practice*. 19(10): 1157-1167.

Schwaller, J. van Zyl, J.E. 2014. Modeling the pressure-leakage response of water distribution systems based on individual leak behavior. *Journal of Hydraulic Engineering, ASCE*. No. 04014089: 1-8.

Thorton, J. Lambert, A. 2006. Managing pressure to reduce new breaks, water 21, Issue DEC.

Walski, T. Bezts, W. Posluszny, E.T. Weir, M. Whitman, B.E. 2006. Modeling leakage reduction through pressure control. *Journal - American Water Works Association*. 98(4): 147-155.